



# Virtual Reality

Sommer 2012

## 4 Spezielle Aspekte der Computergraphik

Versionsdatum: 6. Mai 2012



Prof. Dr. Andreas Kolb  
Computer Graphics & Multimedia Systems

-Folie 4-1-

Virtual Reality

## 4 Spezielle Aspekte der Computergraphik ...



**Fokus:** *Computergraphik* zur Erzeugung der Bilder für visuelle Darstellung

### VR-spezifische Aspekte der Computergraphik:

- Stereo-Projektion
  - Erzeugung von Bildern für rechtes und linkes Auge
- Detaillierungsgrad (Level of Detail, LOD)
  - Reduktion des Renderingauswandes durch Modellvereinfachung
- Occlusion Culling
  - Reduktion des Renderingauswandes durch Verwerfen unsichtbarer Objekte



Prof. Dr. Andreas Kolb  
Computer Graphics & Multimedia Systems

-Folie 4-2-

Virtual Reality

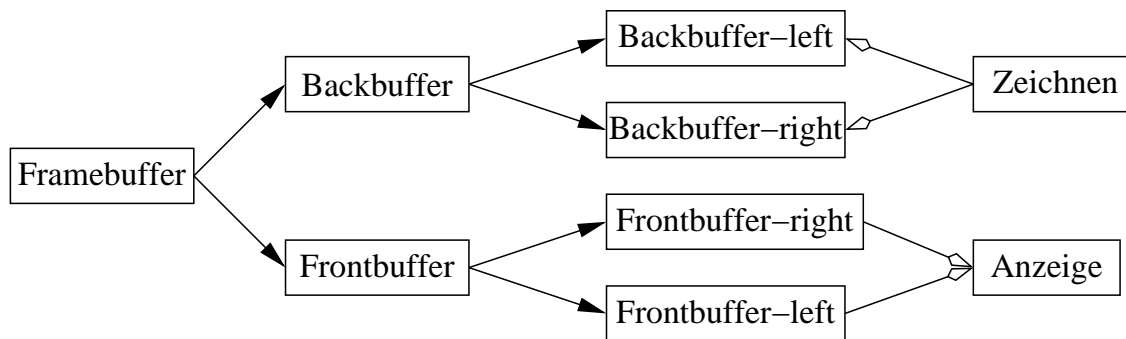
## 4.1 Stereo-Projektion



### Ansatz: Rendering und Hardware

**Zweimaliges Rendern** der Graphik-Pipeline mit leicht veränderten Viewing- oder Perspektiven-Parametern für rechtes /linkes Bild.

**Aktiv Stereo:** Quadbuffer (Double & Stereo) speichert beide Bilder (synchrone Ausgabekanäle)



**Passiv Stereo:** Erzeugung der Stereobilder in zwei separaten Graphikspeichern bzw. Graphikkarten (asynchrone Ausgabekanäle)



### 4.1.1 Erzeugung von Stereobildern



#### Erinnerung: Tiefenwahrnehmung

**Disparität:** Abstand eines projizierten Punktes bzgl. korresp. Punkte (Retina)

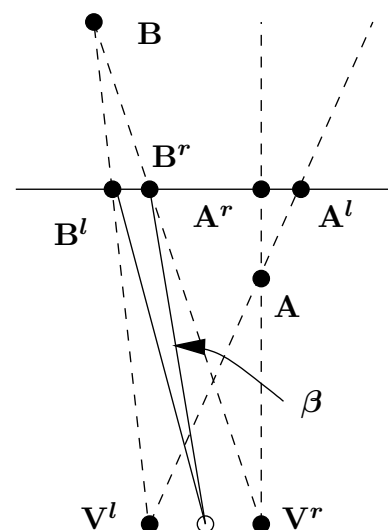
**Parallaxe:** Abweichung auf der Fokusebene (=Projektionsebene)

**Null-Parallaxe:** Punkte auf der Fokusebene (*zero parallax, ZP*) erzeugen identische Projektionen

**Negative Parallaxe:** Punkte **A** vor der Fokusebene liefern Projektionen  $A^r, A^l$  mit *negativem* horizontalen Abstand

**Positive Parallaxe:** Punkte **B** hinter der Fokusebene liefern Projektionen  $B^r, B^l$  mit *positivem* horizontalen Abstand

**Parallaxenwinkel  $\beta$ :** Winkel zwischen rechtem/linken Punkt auf Projektionsebene



## 4.1.1 Erzeugung von Stereobildern ...



### Erinnerung: Viewing Transformation

**Aufgabe:** Abbildung der Objekte aus Welt- in Beobachter-Koordinaten

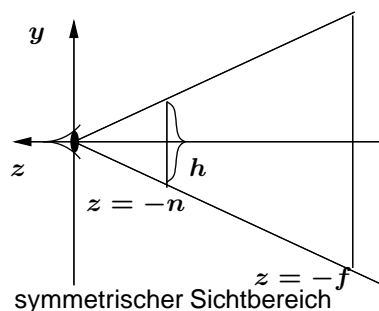
**Steuergrößen** `gluLookAt`: *Viewpunkt V*, *Lookat-Punkt L* und *up-Vektor  $\vec{u}$*

### Erinnerung: Perspektivische Transformation

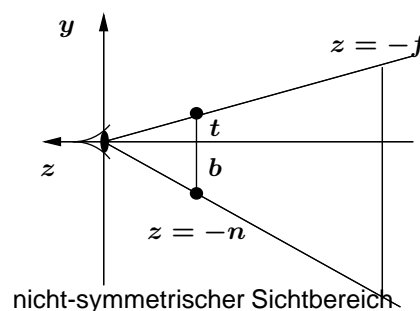
**Aufgabe:** Festlegung des Sichtbereiches/Viewing-Frustum & Transformation in  $[-1, 1]^3$

Bislang: Sichtbereich symmetrisch zur  $z$ -Achse (=optische Achse)

**Nichtsymmetrischer Sichtbereich:**  $l, r, b, t$  (left, right, bottom, top) auf naher Clippingebene



symmetrischer Sichtbereich



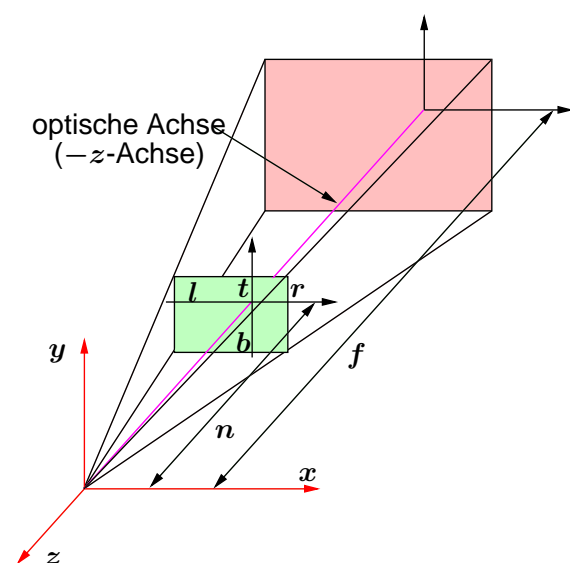
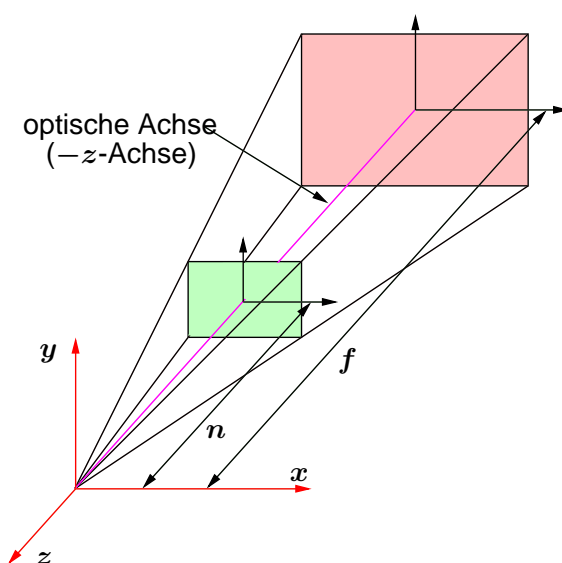
nicht-symmetrischer Sichtbereich



## 4.1.1 Erzeugung von Stereobildern ...



### Perspektivische Projektion



## 4.1.1 Erzeugung von Stereobildern ...



### Definition:

**Augpunkte**  $V^l, V^r$  für das li./re. Bild; Beobachterpunkt („twin center“):  $V = \frac{1}{2} (V^l + V^r)$

**Interaxiale bzw. interpupulare Distanz**  $t_c$ : Abstand  $\|V^l - V^r\|$

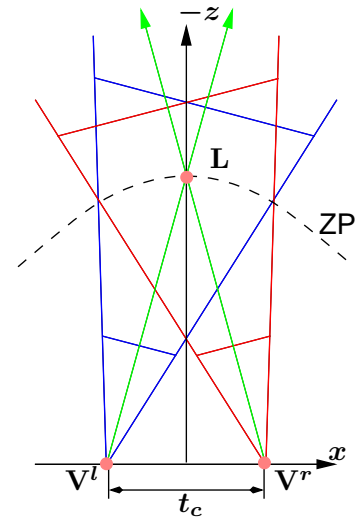
**Sichtachsen:** Ergeben sich aus  $L^l - V^l$  bzw.  $L^r - V^r$

### Fokuspunkt-Ansatz

**Idee:** Stereobilder durch Verdrehen des Augpunktes mit gemeinsamem LookAt-Punkt  $L$

**Vorteil:** Einfache Umsetzung (nur  $V$  anpassen)

**Nachteil:** Die ZP-Punkte liegen nicht auf einer Ebene (Verzerrung am Bildrand)



## 4.1.1 Erzeugung von Stereobildern ...



### Parallele optische Achsen

**Idee:** Parallele Sichtachsen mit verschobenem Viewing-Frustum

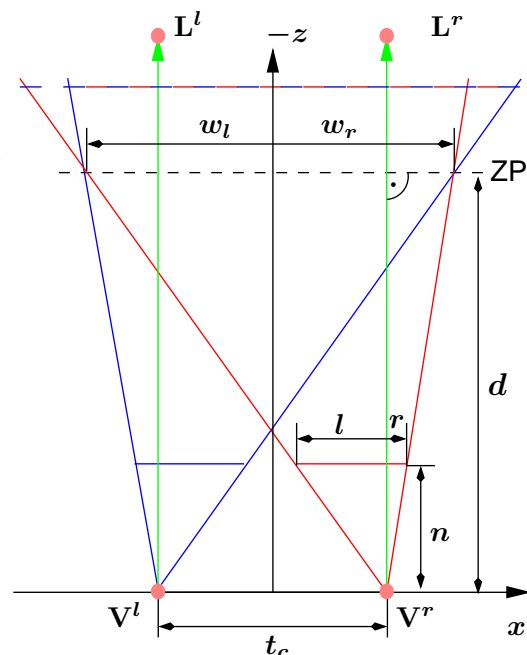
**Vorteil:** ZP-Punkte in einer Ebene

**Gegeben sind:**

**Display-Parameter:** ○ Abstand zum Screen  $d$

○ horizontale und vertikale Position der Screenränder  $w_l, w_r, h_b, h_t$  (vorzeigenbehaftet)

**View-Parameter:**  $n, f, t_c, V$





## 4.2 Level of Detail (LOD) ...



### LOD-Techniken

Unterscheide zwei Arten von LOD-Ansätzen für ein Objekt  $\mathcal{O}$ :

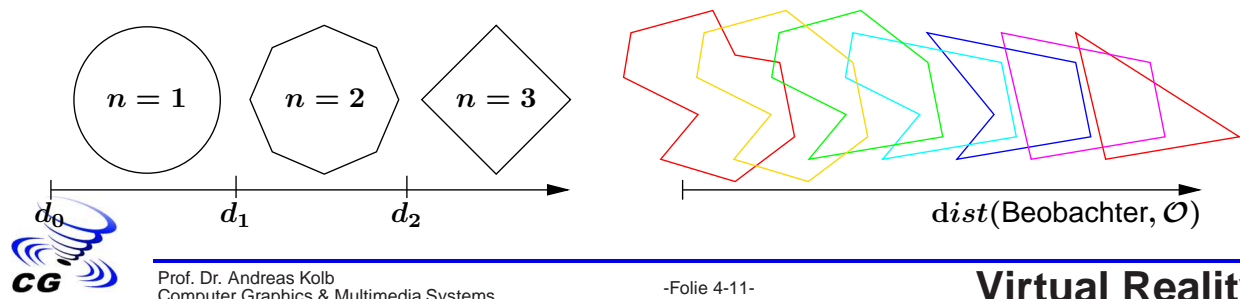
**Diskreter LOD:**  $n$  feste Detailgrade mit Entfernungen

$$d_0 = 0 < d_1 < \dots < d_{n-1} < d_n = \infty$$

$$\text{Verwende Detailgrades } g \Leftrightarrow \text{dist}(\text{Beobachter}, \mathcal{O}) \in [d_{g-1}, d_g[$$

- Relativ einfache Umsetzung
- erhöhtes Datenvolumen bei Übertragung der Modelle
- „Plop-Effekt“ beim Umschalten meist sichtbar

**Kontinuierlicher LOD:** Einfügen bzw. Entfernen von Polygoneckpunkten entspr. des Abstandes zum Beobachter (siehe Kapitel Mesh-Reduktion)



## 4.3 Culling-Techniken



**Ziel:** Aufwandsoptimierung durch Reduktion der Datenmenge beim Durchlaufen der Graphik-Pipe.

**Ansatz:** Verwerfen von Objekten, die (mit hoher Wahrscheinlichkeit) nicht sichtbar sind

**Culling-Techniken:** Man unterscheidet u.a. folgende Techniken:

**Backface-Culling:** Zeichne nur Polygone, die zum Beobachter weisen

**Viewfrustum-Culling:** Entferne Objekte außerhalb des Viewing-Frustums

**Portal-Culling:** Reduziere Teilszenen auf Texturen (z.B. Blick ins Nachbarzimmer)

**Occlusion-Culling:** Entferne Objekte, die von anderen Objekten verdeckt sind

**Grundsatz:**

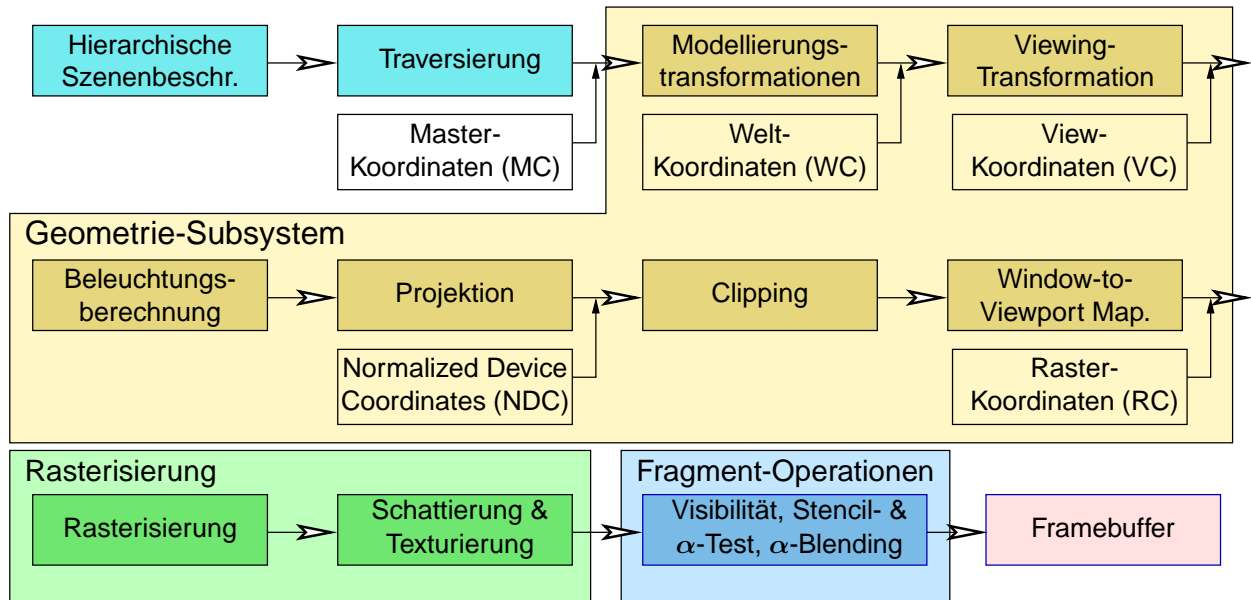
Culling-Aufwand muß kleiner sein, als der eingesparte Rendraufwand!



## 4.3 Culling-Techniken ...



### Erinnerung: Standard Graphik-Pipeline



- Clipping entspricht einem Per-Triangle Culling auf unterer Ebene



### 4.3.1 Backface-Culling



**Erinnerung:** Außenseiten von Polygonen durch Orientierung der Punkte definiert

**Culling-Ansatz:** bei geschlossenen Körpern nur Front-facing Polygone rasterisieren

OpenGL: Backface-Culling ist fester Bestandteil von OpenGL.

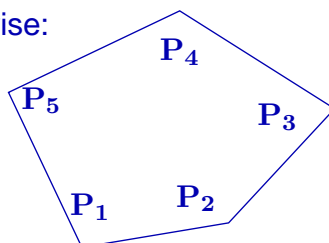
Relevante Funktionen:

`glCullFace()`: legt fest, ob Front- oder Backfaces gecullt werden

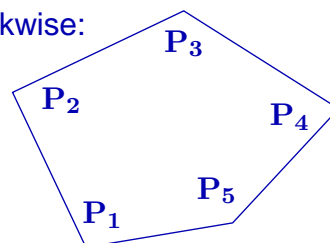
`glFrontFace()`: Orientierung Front-Faces: counter-clockwise (CCW), clockwise (CW)

`glEnable(GL_CULL_FACE)` aktiviert das Culling.

Counterclockwise:



Clockwise:



## 4.3.2 Viewfrustum-Culling



**Idee:** Entfernen ganzer Objekte vor der Projektions-Transformation

**Ansatz:** Objekte werden von *Bounding-Spheres* umschlossen

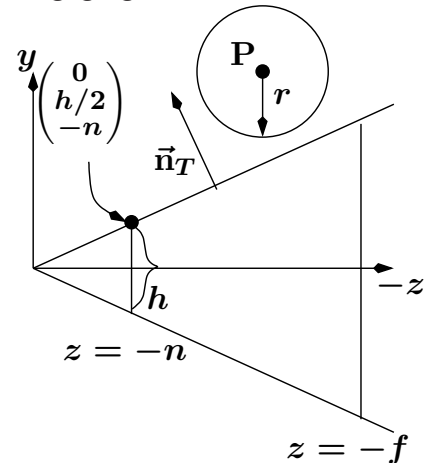
Kugel ausserhalb Viewing-Frustum  $\implies$  Objekt unsichtbar

**Berechnung:** Kugel mit Mitte  $P$  und Radius  $r$ . Prüfung gegen obere Ebene:

$$\begin{aligned} \text{Normale: } \vec{n}_T &= \begin{pmatrix} 1 \\ 0 \\ 0 \end{pmatrix} \times \begin{pmatrix} 0 \\ h/2 \\ -n \end{pmatrix} \\ &= \begin{pmatrix} 0 \\ n \\ h/2 \end{pmatrix}, \quad \hat{n}_T = \frac{\vec{n}}{\|\vec{n}\|} \end{aligned}$$

$$\text{Hesse Normalform: } E_T : \left( \hat{n} \cdot \begin{pmatrix} x \\ y \\ z \end{pmatrix} \right) = 0$$

$$\text{Kugel oberhalb: } (\hat{n} \cdot P) > r$$



## 4.3.3 Portal Culling



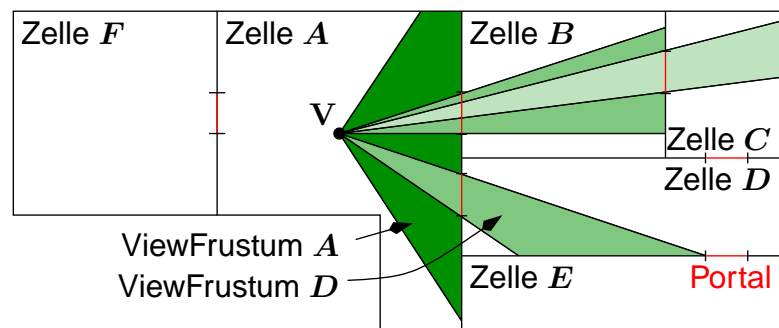
**Ausgangslage:** Beobachter befindet sich in einem (komplexen) *architektonischen Modell* (Gebäude)

**Beobachtung:** Nur der kleinste Teil der Gesamtgeometrie sichtbar

**Idee:** ○ unterteile Gebäude entsprechend der Räume in Zellen

- Beobachter befindet sich in einer Zelle  $\implies$  Rendering der Objekt in Zelle mit Viewing-Frustum Culling
- betrachte (rendere) benachbarte Räume (auch Aussenwelt) durch **Portale** (Fenster, Türen)

Anpassung der Viewing-Frusten für Portale & Viewfrustum-Culling



### 4.3.3 Portal Culling ...



#### Portal Culling Algorithmus

**Ansatz:** Zellen (Knoten) und Portale (Kanten) bilden einen Graphen, der, beginnend von der Zelle des Beobachters traversiert wird.

#### Algorithmus:

1. Lokalisation der Zelle  $Z$ , in der sich Beobachter befindet
2. Rendern der Objekte der Zelle  $Z$  (View-Frustum Culling)
3. Foreach Nachbarzelle  $N$  von  $Z$  mit Portal zu  $Z$ :
  - 3.1. projiziere Portal  $P$  auf Bildebene
  - 3.2. falls Portal auf Bildebene sichtbar (auch teilweise und über Portal-Sequenzen)  $\Rightarrow$  Portal  $P'$ 
    - 3.2.1. bestimme korrigiertes View-Frustum für  $P'$
    - 3.2.2. rendere Objekte der Zelle  $N$  mit Viewfrustum-Culling
    - 3.2.3. gehe zu Schritt (3) (rekursive Verarbeitung der Portale)

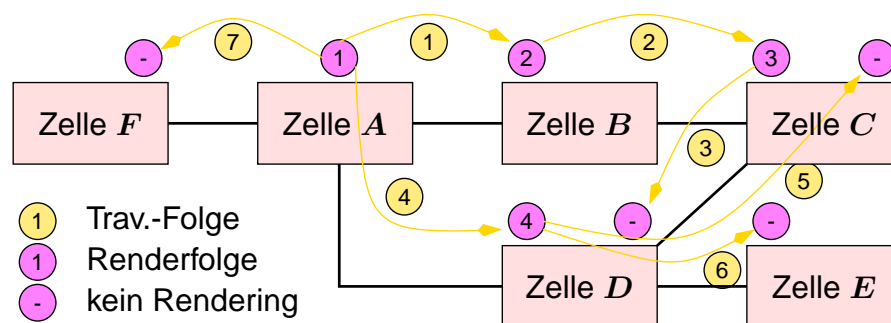


### 4.3.3 Portal Culling ...



#### Beispiel: Portal Culling Algorithmus

**Graph** zu dem Beispiel von der vorhergehenden Folie



**Beachte:** Knoten werden i.d.R. mehrfach betrachtet

#### Bemerkung: Aussenbereiche

- Unterteilung des Aussenbereichs in Zellen & Zuordnung der Objekte, z.B. an natürlichen Grenzen (Gebäuden etc.)
- verwende kombiniertes Portal- und Frustumculling
- zusätzlich: Verarbeite Zellen Front-to-Back & Occlusion Culling der Zelle



## 4.3.4 Occlusion Culling



**Bislang:** Entfernen von Objekten ausserhalb des Sichtbereiches

**Ansatz:** Erkennen von verdeckten Objekten innerhalb des Sichtbereiches



455 874 polygons  
(4.3%) visible



10 154 292 polygons  
(95.7%) occluded

**Z-Buffer-Algorithmus** löst Sichtbarkeitsproblem für beliebige 3D-Szenen auf Pixelebene

**Problem Z-Buffer:** Häufiges Prüfen und ggf. Überzeichnen auf Pixelebene

**Depth Complexity (Map)** = Anzahl der Überzeichnungen pro Pixel



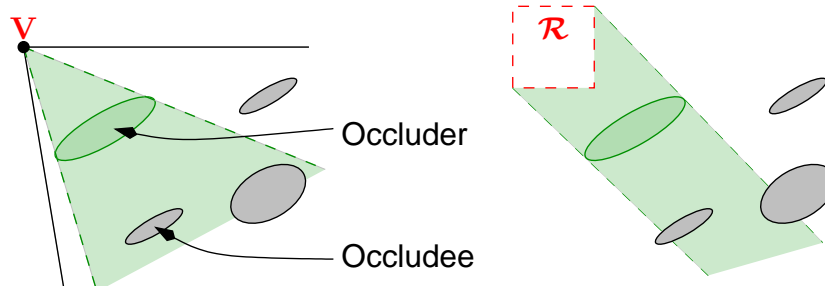
## 4.3.4 Occlusion Culling ...



### Grundsätzliche Betrachtungen

**Point-based Occlusion Culling:** Bewertung der Sichtbarkeit anhand aktueller Beobachterposition  $V$

**Cell-based Occlusion Culling:** Sichtbarkeit innerhalb einer „Bewegungszelle“  $\mathcal{R}$ ; i.a. rechenaufwendiger



**Image Space Occlusion Culling:** Entscheidung der Sichtbarkeit in 2D-Bildebene (approximativ auf Pixel-Gitter)

**Object Space Occlusion Culling:** Entscheidung der Sichtbarkeit im 3D-Objektraum (exakt)



## 4.3.4 Occlusion Culling ...



### Algorithmus: Occlusion Culling allgemein

$\mathcal{G}$  : Menge der Objekte in der Szene

$\mathcal{P}$  : Menge potentieller Occluder (initial leer)

$\mathcal{O}$  : Occluder-Repräsentation (initial leer)

```
foreach g in G do {           // object g in scene objects G
  if ( isOccluded(g, O) ) continue;
  else {
    render(g);
    P.add(g);
    if ( largeEnough(P) ) { // not always update O !
      updateOccluderRepresentation(O , P); // rather expensive
      P.clear();           // remove pot. occluder
    }
  }
}
```



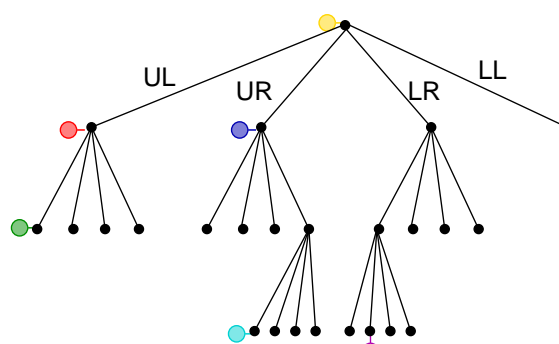
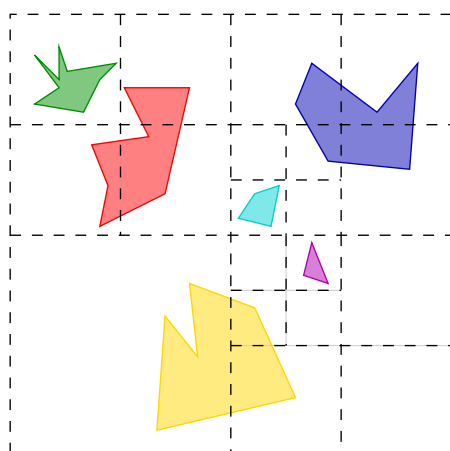
## 4.3.4 Occlusion Culling ...



### Hierarchical Z-Buffering, HZB (Greene '93)

**Datenstrukturen:** 1. Octree zur Verwaltung der Szenen-Objekte  
2. hierarchischer Z-Buffer

**Octree:** Adaptive räumliche Datenstruktur



## 4.3.4 Occlusion Culling ...



### Octree Erzeugung

**Ausgangslage:** Bounding-Box der gesamten Szene  $U^0$

**Octree Unterteilung** am Box-Mittelpunkt in *acht gleichgroße Teilbereiche*:

$$\text{initial: } U^0 = \dot{\bigcup}_{k=1}^8 U_k^1 \quad \text{rekursiv: } U_I^i = \dot{\bigcup}_{k=1}^8 U_{(I,k)}^{i+1}$$

mit Multi-Index  $I = (k_1, \dots, k_i)$ ,  $k_j \in \{1, \dots, 8\}$

**Abbruchkriterium:** Zwei gängige Alternativen

1. Teilbereich enthält (auch teilweise) max. eine Obergrenze  $n_{max}$  von Objekten
2. max. Unterteilungstiefe erreicht

**Objekt-Zuordnung:** Knoten/Blättern bilden kleinstmögliche Bounding Box für zugeordnete Objekte in der Hierarchie

**Beachte:** Aufwand für die Erstellung des Octree  $\Rightarrow$  statische Szenen

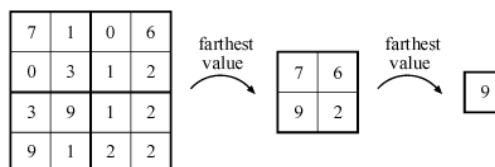


## 4.3.4 Occlusion Culling ...



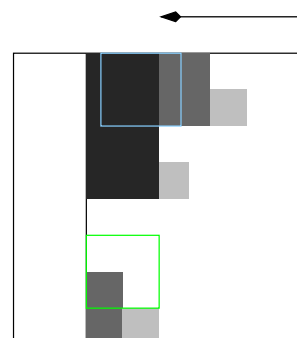
### Hierarchischer z-Buffer/z-Pyramide

- z-Pyramide:**
- Rekursive Vergrößerung des akt. Depth-Buffer mit Fraktor 2
  - jeweils größter Tiefenwert wird übernommen



**Rendering:**

1. Bestimme Octree-Zelle für Beobachter
2. Verarbeite Octree-Node (Init: Root-Node)
  - 2.1. teste Node-Verdeckung in z-Pyramide
  - 2.2. falls nicht verdeckt
    - 2.2.1. rendere zugeordnete Objekte
    - 2.2.2. update z-Pyramide
    - 2.2.3. gehe zu (2) für Child-Nodes („front-to-back“)



## 4.3.4 Occlusion Culling ...



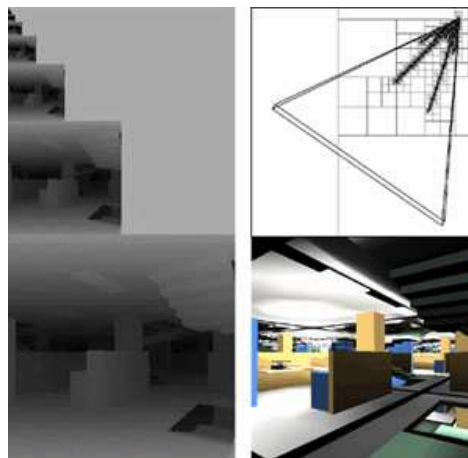
### Hierarchischer z-Buffer/Node-Verdeckungstest

#### Umsetzung der Node-Verdeckung auf Basis der Polygone der AABB

```
bool covered(Polygon p, int l, Pixel px) {
    d = closest distance of p in px in level l
    if ( d > zPyramid(l, px) ) return true;
    else return false;
}

foreach polygon p of AABB {
    px = polygon location
    l = coarsest level in zPyramid covering p

    bool visible = true;
    do {
        if ( covered(p, l, px) ) visible = false;
        else {
            visible =
                ! covered(p->subdiv(LL), l+1, px) ||
                ! covered(p->subdiv(LR), l+1, px) ||
                ! covered(p->subdiv(UL), l+1, px) ||
                ! covered(p->subdiv(UR), l+1, px);
        }
    } while ( visible && ++l < MAX_LEVEL );
}
```



Beispielszene mit z-Buffer und Octree



## 4.3.4 Occlusion Culling ...



### Hardware basiertes Occlusion Query

**Ansatz:** Graphik-Hardware gibt Information,

- ob spezifische Geometrie den Depth-Test teilweise passiert hat (boolsch)
- oder wieviele Pixel der Geometrie den Depth-Test passiert haben

**Beispiel:** HP OpenGL-Extension HP\_occlusion\_test

- ermittelt, ob Geometrie (teilweise) Depth-Test passiert hat (boolean)
- Stop-and-Wait Problem: Nach jedem Test muß das Ergebnis abgeholt werden

**Beispiel:** OpenGL-Occlusion Query Funktionen (urspr. von NVIDIA)

- ermittelt, ob Anzahl der Pixel, die Depth-Test passiert haben
- mehrere Occlusion Tests nacheinander möglich (asynchron)



## 4.3.4 Occlusion Culling ...



### Algorithmus: OpenGL Occlusion Query

```
GLuint    queryID[N];

glGenQueries(N, queryID); // generate N occl.-IDs
...           // render major occluders
glColorMask(GL_FALSE, GL_FALSE, GL_FALSE, GL_FALSE); // no color update
glDepthMask(GL_FALSE); // no depth update
for (i = 0; i < N; i++) {
    glBeginQuery(queryID[i]);
    // render bounding box for object i
    glEndQuery();
}
glColorMask(GL_TRUE, GL_TRUE, GL_TRUE, GL_TRUE); // activate update
glDepthMask(GL_TRUE); // activate update
// do some stuff
for (i = 0; i < N; i++) {
    do {
        glGetQueryObjectiv(queryID[i], GL_QUERY_RESULT_AVAILABLE,
                           &available);
    } while ( !available );
    glGetQueryObjectiv(queryID[i], GL_QUERY_RESULT, &pixelCount);
    if (pixelCount > EPSILON)
        // render object i
}
```



## 4.3.4 Occlusion Culling ...



### Uniform Hardware Occlusion Query (Hillesland '02)

**Gegeben:** Statische Szene bestehend aus Polygon-Modellen

**Vorverarbeitung:** Dreiecke in reguläres Gitter einordnen (Zellen  $\mathcal{Z}$  mit Zentren  $\mathcal{C}$  in View-Koordinaten)

**Algorithmus:** Front-to-Back Grid-Rasterisierung mittels *Priority-Queue*  $\mathcal{Q}$   
Sortier-Kriterium für Zellen in  $\mathcal{Q}$  ist  $\mathcal{C}_z$  (absteigend)

1. Identifiziere Zelle  $\mathcal{Z}$  der Kamera, füge  $\mathcal{Z}$  in  $\mathcal{Q}$  ein
2. Solang  $\mathcal{Q}$  nicht leer
  - 2.1. Hole oberstes Element:  $\mathcal{Z} = \mathcal{Q}.dequeue()$
  - 2.2. HW Occlusion Query von  $\mathcal{Z}$ 
    - 2.2.1. rasterisiere Zelle  $\mathcal{Z}$  (Würfel) (kein Color- & Depthbuffer Update)
    - 2.2.2. HW-Query-Ergebnis  $\geq$  Schwellwert  $\Rightarrow$  rendere Dreiecke in  $\mathcal{Z}$
  - 2.3. Markiere  $\mathcal{Z}$  als visited
  - 2.4. Füge Nachbarzellen  $\mathcal{Z}'$  von  $\mathcal{Z}$  in  $\mathcal{Q}$  ein ( $\mathcal{Q}.enqueue(\mathcal{Z}')$ ), sofern
    - $\mathcal{Z}'$  ist noch unbesucht und Viewing-Frustum Culling negativ
    - „in Blickrichtung“  $\Leftrightarrow (\mathcal{C}' - \mathcal{C})_z \leq 0$

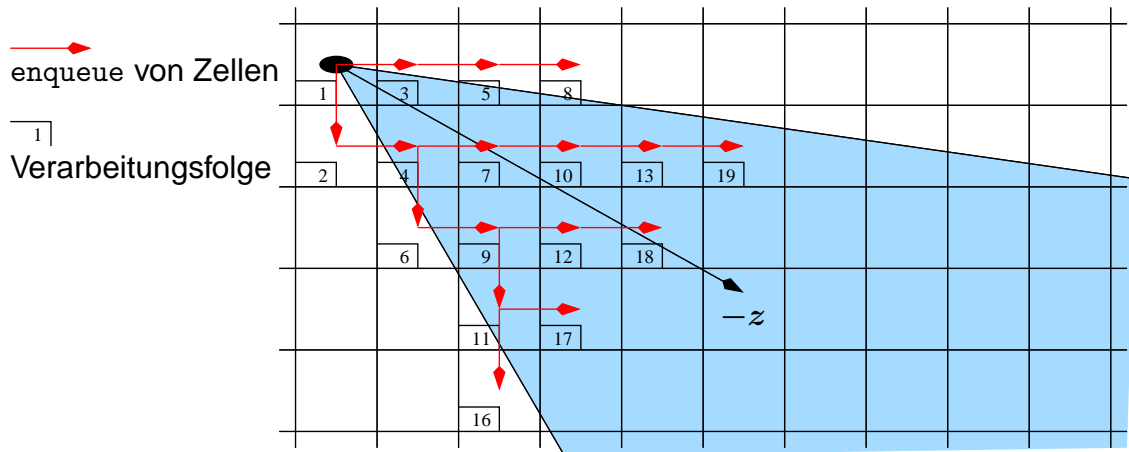


### 4.3.4 Occlusion Culling ...



#### Uniform Hardware Occlusion Query (Hillesland '02) (Forts.)

Beispiel:



**Bemerkung:** ○ Der Algorithmus kann auch mehrere Zellen parallel auf Verdeckung prüfen (siehe Occlusion Queries)

○ Das Vorgehen entspricht einer *breadth first* Traversierung



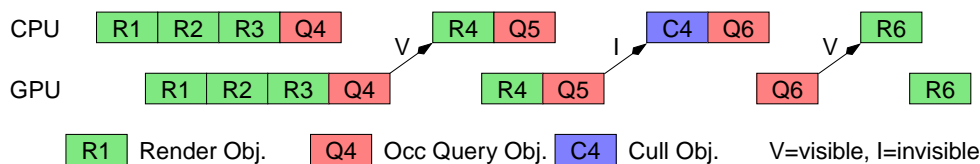
### 4.3.4 Occlusion Culling ...



#### Coherent Hierarchical Culling (CHC) (Bittner '04)

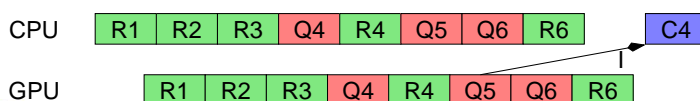
**Zielsetzung:** Verbesserung bzgl. folgender Punkte

- Hierarchische Struktur zur adaptiven Anpassung an (statische!) Szene
- Vermeidung von Warten der CPU und Unterauslastung der GPU unter Nutzung *zeitlicher Kohärenz* aufgrund kontinuierlicher Beobachterbewegung



**Ansatz:** Vermeidung von CPU-Warten und GPU-Unterauslastung:

- direktes Rendern von im letzten Frame sichtbaren Objekten (hier Objekt 4 und 6)

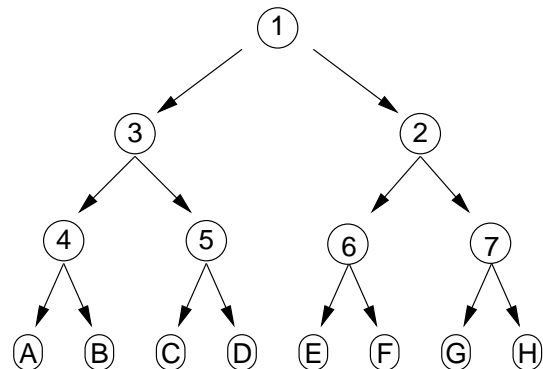
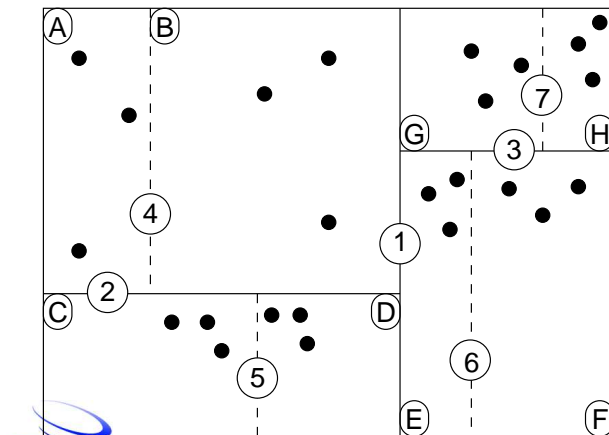


## 4.3.4 Occlusion Culling ...



### CHC: Raumunterteilung mit kd-Baum

- achsen-parallele Quader durch Unterteilung entlang einer Koord.-Achse
- Unterteilung halbiert Anzahl der Objekt
- Nächste Unterteilung-Achse ist längste Quaderkante
- Es entsteht ein („nahezu“) ausgeglichener Binärbaum, Objekte werden in Blättern gespeichert



## 4.3.4 Occlusion Culling ...



### CHC: Nutzung der zeitlichen Kohärenz

**Gegeben:** kd-Baum des letzten Frames  $i - 1$  mit

- **open nodes**  $\mathcal{O}_{i-1}$ : Sichtbare, innere Knoten
- **termination nodes**  $\mathcal{T}_{i-1}$ : Abbruch der Traversierung (Blattknoten oder unsichtbarer innerer Knoten)

**Traversierung** im Frame  $i$  in Back-to-Front Ordnung

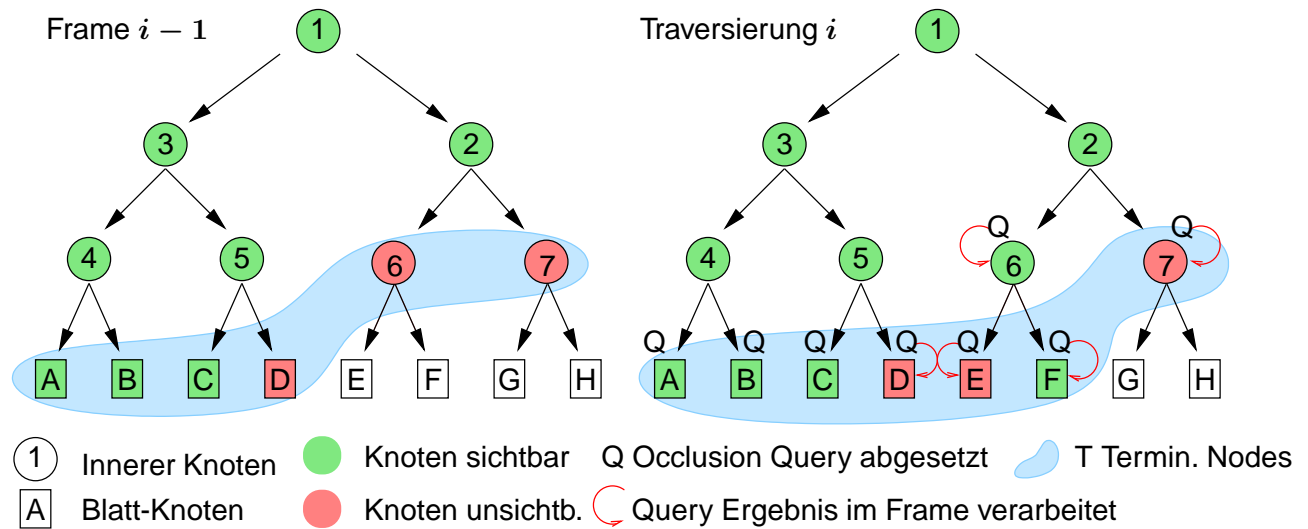
- Überspringe open nodes  $N \in \mathcal{O}_{i-1}$
- Verarbeite termination nodes  $N \in \mathcal{T}_{i-1}$ :
  - $N$  ist Blatt: Starte Occ.Query, speichere Occ.Query in **query queue**  $\mathcal{Q}$  & rendere Objekte (ohne Prüfung des Query-Ergebnisses!)
  - $N$  ist innerer Knoten: Starte Occ.Query, speichere Occ.Query in  $\mathcal{Q}$
- Verarbeite Query-Ergebnisse (nur innere Knoten):
  - Wenn  $N$  Blattknoten, hole Query-Ergebnis erst zum Schluss
  - Wenn  $N$  innerer Knoten: Starte Occ.Query für die Kinder & speichere Occ.Query in  $\mathcal{Q}$



### 4.3.4 Occlusion Culling ...



#### Beispiel: CHC: Traversierung (Teil I)



**Beachte:** Occlusion Queries werden nur für Termination Nodes abgesetzt.

**Offener Punkt:** Behandlung von Knoten, die unsichtbar werden



### 4.3.4 Occlusion Culling ...



#### Beispiel: CHC: Traversierung (Teil II)

**Pull-Up:** Beide Kinderknoten sind/werden unsichtbar  $\Rightarrow$  Elternknoten wird unsichtbar und zum Termination Node.

